

## پهنه بندی ایران بر مبنای دماهای حداقل

فیروز مجید: استادیار اقلیم شناسی، دانشگاه رازی، کرمانشاه، ایران\*

بهمن جوادی: کارشناسی ارشد اقلیم شناسی، دانشگاه رازی، کرمانشاه، ایران

### چکیده

دماهای حداقل در ایران، بر مبنای آمار چهل ساله ۴۴ ایستگاه سینوپتیک، با استفاده از روش‌ها و تکنیک‌های آماری، از جمله تجزیه و تحلیل واریانس یک طرفه، آزمون مقایسه‌های چندگانه بونفرونی و معادله‌های رگرسیون چندگانه، مطالعه شد و بر مبنای تحلیل خوش‌ای (CA)، سطح ایران از نظر دماهای میانگین حداقل با استفاده از قابلیت‌های نرم افزارهای GIS، به صورت سالانه و فصلی پهنه بندی گردید. همچنین برای میان‌یابی و برآورد نقطه‌ای تغییرات مکانی در قالب نقشه‌های دما و ضربیت تغییرپذیری از روش کریجینگ استفاده شد. نتایج تحقیق، چهار پهنه متفاوت دمایی میانگین حداقل سالانه را برای کشور مشخص کرد که بررسی نقشه سالانه و نقشه‌های پهنه بندی فصلی، نقش عرض جغرافیایی را در توزیع دماهای بخصوص در نوار ساحلی جنوب بخوبی نشان می‌دهد، اما در سایر نقاط، بویژه منطقه شمال غرب و زاگرس، نقش ارتفاع بارزتر است. آزمون‌های آماری از جمله تجزیه و تحلیل واریانس یک‌طرفه و آزمون مقایسه‌های چندگانه بونفرونی، درستی پهنه بندی‌ها را تأیید می‌نمایند. از سوی دیگر، مقادیر انحراف معیار و تغییر پذیری دماهای صبحگاهی در مناطق مرتفع بیشتر از مناطق پست است. مقایسه ضرایب  $\beta$  استاندارد، مدل‌های رگرسیون چندگانه و نیز ضرایب همبستگی نشان می‌دهد که در تمام فصول و همین طور در طول سال، نقش ارتفاع در کنترل دماهای صبحگاهی، بیشتر از عرض جغرافیایی است. همچنین، بررسی ضرایب تعیین ( $r^2$ ) معلوم می‌دارد که نقش تلفیقی این دو عامل، ضمن آنکه در کل بسیار چشم گیر است، در توجیه تغییرات دماهای صبحگاهی زمستانه، بیشتر از دماهای تابستانه است. به عبارت دیگر، عوامل محلی (عرض جغرافیایی و ارتفاع) در کنترل دماهای حداقل دوره سرد سال نقش بیشتری دارند. در سطح کشور بین مقادیر ارتفاع و عرض جغرافیایی از یک سو و دماهای میانگین حداقل و حداقل مطلق سالانه و فصلی از سوی دیگر، روابط معنی دار و معکوس در سطح ۱۰٪ مشاهده می‌شود. ضرایب رگرسیونی نشان می‌دهد که مقدار گرادیان دماهای میانگین حداقل سالانه در کشور، ۵/۹ درجه سانتیگراد کاهش در هر کیلومتر و بیشترین گرادیان فصلی مربوط به فصل پاییز به میزان ۶/۷ درجه سانتیگراد کاهش در هر کیلومتر بوده است.

واژه‌های کلیدی: پهنه بندی، ایران، دماهای میانگین حداقل، دماهای صبحگاهی

### مقدمه

می‌آورد که شناختن آن برای اقلیم شناسان یک ضرورت است. در این تحقیق، دماهای میانگین حداقل، به دلیل آنکه آثار انکارناپذیری بر فعالیت‌های اکولوژیک دارد، برای مطالعه انتخاب شده است. پهنه

از آنجا که سطح زمین به عنوان زیست کره، محل ارتباط بیوم‌هاست، دما در این گستره نقش مهمی بازی می‌کند و پهنه‌های مکانی متفاوتی را به وجود

ایگلسیاس و همکاران<sup>۳</sup> (۲۰۰۰) برای به دست آوردن مدل رشد محصول گندم در یک منطقه عمده گندم خیز کشور اسپانیا، با استفاده از متغیرهای دما (در طی فصل رویش)، بارندگی ۳۲۹ ایستگاه هواشناسی و داده‌های میزان تولید محصول استان‌ها، بر اساس تجزیه و تحلیل خوش‌ای، هفت منطقه کشاورزی-اقليمی تشخیص دادند.

يونال و همکاران<sup>۴</sup> (۲۰۰۳) در ترکیه، برای انجام منطقه‌بندی اقلیمی، بعد از استاندارد کردن داده‌های ۱۱۳ ایستگاه هواشناسی، شامل دماهای میانگین، میانگین حداقل، میانگین حداقل و بارندگی بین سال‌های ۱۹۵۱ تا ۱۹۹۸، از پنج تکنیک تجزیه و تحلیل خوش‌ای سلسله مراتبی استفاده کردند و در نهایت، با استفاده از روش Ward هفت منطقه اقلیمی تشخیص دادند.

مسعودیان (۱۳۸۲) برای بررسی ۲۷ متغیر اقلیمی از روش تحلیل خوش‌ای استفاده کرد و نشان داد که اقلیم ایران ساخته شش عامل: عوامل گرمایی، بارشی، بادی، غباری، تندری و نم و ابر است. وی سطح ایران را با توجه به این عناصر اقلیمی به پانزده ناحیه اقلیمی تفکیک کرد و نشان داد که آرایش مکانی نواحی یاد شده، مؤید نقش همسایگی با دریاها و نیز ارتفاع در شکل گیری اقلیم کشور است.

امام‌هادی و علیجانی (۱۳۸۳) در بررسی توده‌های هوای مؤثر بر ایران در دوره سرد سال، بر مبنای

بندی یا تفکیک مکان‌ها به مناطق نسبتاً همگن، از جمله موضوعهایی است که بیشتر برنامه ریزان را در تصمیم‌های منطقه‌ای کمک می‌کند. از آنجا که ایران دارای تنوع آب و هوایی است و پراکندگی مکانی و نوسانات دمایی در گستره جغرافیایی آن مشهود است، انجام پنهنه بندی دمایی بر مبنای آخرین آمار اقلیمی کاملاً ضروری است. یکی از رهیافت‌های مطالعاتی برای پنهنه بندی دمایی استفاده از روش‌های آماری تجزیه و تحلیل خوش‌ای (CA<sup>۱</sup>) و تحلیل مؤلفه‌های مبنایی (PCA<sup>۲</sup>) است که در این پژوهش از روش تجزیه و تحلیل خوش‌ای استفاده شده است.

حیدری و علیجانی (۱۳۷۸) با استفاده از تکنیک‌های آماری چند متغیره، سطح ایران را از نظر اقلیمی طبقه‌بندی نمودند. آنان یک دسته ۹ متغیره آب و هوایی را در ۴۳ ایستگاه هواشناسی سینوپتیک با تحلیل عاملی و تجزیه خوش‌ای مطالعه کردند. روش تحلیل عاملی، سه عامل مهم را نشان داد: اول عامل رطوبت، دوم عامل دما و سوم عامل جهت گیری باد. تغییرپذیری فضایی امتیاز‌های عاملی، توصیف و تفسیر و سپس سطح ایران بر اساس گروه بندی امتیاز‌های عاملی با تکنیک گروه بندی فاصله‌ای، به شش ناحیه اقلیمی همگن اصلی تقسیم گردید؛ ضمن آنکه در مرحله بعدی دوازده زیر ناحیه اقلیمی نیز شناسایی شد.

<sup>۳</sup> - Iglesias et al.

<sup>۴</sup> - Unal et al.

<sup>۱</sup> - Cluster Analysis

<sup>۲</sup> - Principal Components Analysis

۱۹۸۶-۲۰۰۰ مطالعه کرد و به این نتیجه دست یافت که سال، به دو فصل نسبتاً طولانی گرم و سرد؛ یعنی تابستان و زمستان تقسیم می‌شود و فصول انتقالی پاییز و بهار در این استان بسیار کوتاه و زود گذر است. مجرد (۱۳۷۶: ۸۵) با استفاده از تحلیل خوشة ای، منطقه آذربایجان را در شمال غرب کشور بر مبنای دماهای میانگین حداقل و حداقل و دماهای میانگین ماهانه به چهار ناحیه تقسیم کرد.

کاررا هرناندز و گاسکین<sup>۳</sup> (۲۰۰۷) با تحلیل زمانی- مکانی بارش‌ها و دماهای روزانه و ماهانه در حوضه مکزیک دریافتند که درون یابی دماهای روزانه با استفاده از عامل ارتفاع به عنوان متغیر دوم، به صحت برآوردها کمک می‌کند؛ هرچند که ممکن است این دو متغیر، همبستگی ضعیفی داشته باشند. ژو و همکاران<sup>۴</sup> (۲۰۰۷) در ناحیه زراعی سورمیجی<sup>۵</sup> استرالیا با استفاده از تجزیه و تحلیل خوشه‌ای و تکنیک‌های GIS، بر مبنای آمار درازمدت چهار متغیر اقلیمی شامل میانگین بارش سالانه، میانگین تبخیر و تعرق سالانه، میانگین سالانه درجه- روزهای رشد (GDD) و میانگین دمای روزانه، با استفاده از درون یابی مکانی، دو ناحیه اقلیمی و سه ناحیه هیدرولرمال تشخیص دادند.

کریس و همکاران<sup>۶</sup> (۲۰۰۷) در چین با توجه به اثربخشی ضریب انرژی در طراحی ساختمان و

تحلیل عاملی با استفاده از داده‌های روزانه دما و دمای نقطه شبنم در سه ایستگاه تهران، شیراز و کرمانشاه در دوره زمانی ۱۹۹۰-۱۹۸۱ در طی ماه‌های دسامبر تا فوریه، برای ایستگاه تهران، چهار عامل و برای ایستگاه‌های کرمانشاه و شیراز هر کدام سه عامل استخراج کردند و با استفاده از تحلیل خوشه‌ای سلسه مراتبی بر روی نمره‌های عامل‌های استخراج شده روزها، گروه بندی را انجام دادند.

خلیلی (۱۳۸۳) در پهنه بندی نیازهای گرمایشی (HDD<sup>۱</sup>) و نیازهای سرمایشی (CDD<sup>۲</sup>) ایران در روزهای مختلف سال، بر مبنای میانگین ماهانه دمای ۲۱۸ ایستگاه هواشناسی کشور براساس معادله‌های حاصله و آستانه‌های در نظر گرفته شده، برای درجه روزهای گرمایشی، هفت گروه اقلیمی و برای درجه روزهای سرمایشی، پنج گروه اقلیمی و چهار گروه رطوبتی تشخیص داد.

مسعودیان و عطایی (۱۳۸۴) با استفاده از تحلیل خوشه‌ای بر روی مقادیر بارش ماهانه ایران در نیم قرن اخیر، پنج ناحیه بارشی با فصول تقریباً متمایز تشخیص دادند و بیان نمودند که حداقل دو و حداقل سه فصل در این نواحی مشخص است.

ذوالفقاری (۱۳۸۴) با روش تحلیل خوشه‌ای، فصول طبیعی استان کرمانشاه را بر مبنای داده‌های درجه حرارت حداقل، حداقل و متوسط روزانه چهار ایستگاه به عنوان نماینده، طی دوره آماری پانزده ساله

<sup>۳</sup> - Carrera-Hernandez & Gaskin

<sup>۴</sup> - Zhou et al.

<sup>۵</sup> - Murrumbidgee

<sup>۶</sup> - Chris et al.

<sup>۱</sup> - Heating Degree Days

<sup>۲</sup> - Cooling Degree Days

توالی یا ران تست<sup>۱</sup> (مهدوی، ۱۳۷۳: ۲۰۳) استفاده گردید. نتایج این آزمون نشان داد که داده ها در سطح ۰/۰۵ همگن هستند. مشخصات جغرافیایی و آماری ایستگاه های مورد مطالعه در جدول ۱ و پراکنش آنها در ایران در شکل ۱ آورده شده است.

روش سلسله مراتبی برای تشخیص گروه های همگن متغیرها با توجه به خصوصیات منتخب آنها به کار می رود که با قرار گرفتن هر متغیر در خوشة جداگانه شروع و سپس خوشه ها با همدیگر ترکیب می شود تا یک خوشه باقی بماند. از بین روش های متعدد تجزیه و تحلیل خوشه ای (CA) برای ۱۷ سری زمانی میانگین سالیانه، فصلی و ماهیانه طی ۴۰ سال، از روش Between-groups استفاده شد که در این روش، عمل تقسیم خوشه ها از تقسیم مجموعه عناصر به دو گروه شروع می شود. سپس هر یک از گروهها مجدداً به دو گروه تقسیم می شود. این عمل تا جایی ادامه دارد که هر عنصر در داخل یک گروه قرار گیرد. برای دماهای حداقل مطلق از روش Ward که بیشترین تطابق را داشت استفاده شد. در این روش معیار طبقه بندي، ماتریس فاصله یا تشابه نیست؛ بلکه از مشاهده های مربوط به صفات استفاده می شود. هدف گروه بندي، قرار دادن ایستگاه های دمایی در طبقات همگن است. ”پایه تمام روش های تجزیه و تحلیل خوشه ای، کم کردن هر چه بیشتر واریانس داخل خوشه نسبت به واریانس بین خوشه ها است“ (گرامی، ۱۳۷۷: ۵).

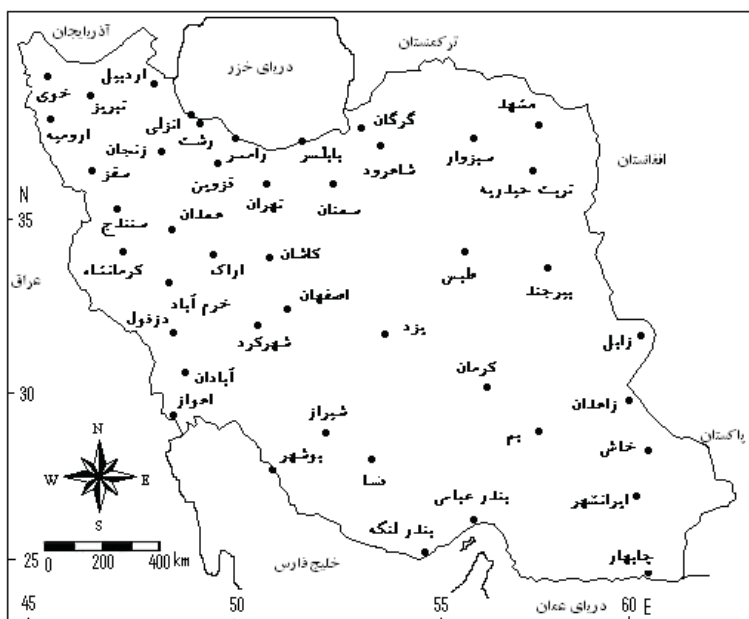
صرف انرژی، با استفاده از روش تجزیه و تحلیل خوشه ای و با توجه به داده های تابش خورشید، از آمار ۱۲۳ ایستگاه برای پنهان بندی میزان آفتاب استفاده کرده، پنج منطقه آب و هوایی تشخیص دادند که نتایج، سازگاری خوبی با واقعیت داشت.

با مرور تحقیقات بالا معلوم می گردد که در سال های اخیر تکنیک های آماری، از جمله تحلیل عاملی و تحلیل خوشه ای در طبقه بندي های اقلیمی، کاربرد گسترده ای پیدا کرده است. نظر به اهمیت مطالعه توزیع مکانی عناصر اقلیمی بر مبنای آمار جدید این تحقیق در نظر دارد که تغییرات مکانی و پنهانه های دماهای حداقل را در ایران به همراه روابطی که با عوامل محلی دارند، با استفاده از روش های آماری بر مبنای آخرین آمار اقلیمی مطالعه نمایند.

## مواد و روش ها

در این تحقیق، داده های دمای میانگین حداقل و حداقل مطلق که به ترتیب معرف دماهای میانگین صبحگاهی و دماهای حداقل صبحگاهی است، برای ۴۴ ایستگاه سینوپتیک ایران در یک دوره ۴۰ ساله (۱۹۶۴ تا ۲۰۰۳)، از پایگاه اینترنتی سازمان هواشناسی کشورأخذ شد. قبل از تجزیه و تحلیل داده ها، کمبود های آماری برخی از ایستگاه ها با استفاده از روش تفاضل ها (علیزاده، ۱۳۶۸: ۴۶۷-۴۶۱) و در مواردی با استفاده از روش میانگین گیری، بازسازی شد. همچنین، برای اطمینان از همگنی داده ها، از آزمون

<sup>۱</sup>-Run Test



شکل ۱- توزیع جغرافیایی ایستگاههای مورد مطالعه در ایران

جدول ۱- مشخصات جغرافیایی و آماری ایستگاههای مورد مطالعه در ایران (۱۹۶۴-۲۰۰۳)

ردیف	موقعیت	ارتفاع ایستگاه (متر)	نقص آماری	نام ایستگاه	ردیف	موقعیت	ارتفاع ایستگاه (متر)	نقص آماری	نام ایستگاه		
شمال	جنوب	شمال	جنوب	شمال	شمال	جنوب	شمال	جنوب	شمال		
۱	۲۷.۵۱	۵۹.۳۳	۹۸۲/۳	۱۹۶۴-۶۶	کاشان	۲۳	۵۸.۴۴	۳۳.۳۸	۱۱۰۳	۱۹۶۴	خوی
۲	۵۵.۰۶	۳۶.۳۳	۷۱۱	۱۹۶۴	طبس	۲۴	۱۷.۴۸	۱۵.۳۸	۱۳۳۲	-	اردبیل
۳	۲۲.۴۸	۲۹.۳۳	۱۱۲۵	-	خرم‌آباد	۲۵	۱۷.۴۶	۰۵.۳۸	۱۳۶۱	-	تبریز
۴	۱۲.۰۹	۵۲.۳۲	۱۴۹۱	-	بیرجند	۲۶	۰۵.۴۵	۳۲.۳۷	۱۳۱۵/۹	-	ارومیه
۵	۴۰.۰۱	۳۷.۳۲	۱۰۵۰/۴	-	اصفهان	۲۷	۲۸.۴۹	۲۸.۳۷	-۲۶/۲	-	انزلی
۶	۲۳.۴۸	۲۴.۳۲	۱۴۳	-	دزفول	۲۸	۳۹.۴۹	۱۲.۳۷	۳۶/۷	-	رشت
۷	۵۱.۰۰	۲۰.۳۲	۲۰۶۱/۴	-	شهرکرد	۲۹	۴۰.۵۰	۵۴.۳۶	-۲۰	-	رامسر
۸	۱۷.۰۴	۵۴.۳۱	۱۲۲۷/۲	-	یزد	۳۰	۱۶.۰۴	۵۱.۳۶	۱۳/۳	-	گرگان
۹	۴۰.۴۸	۲۰.۳۱	۲۲/۰	-	اهواز	۳۱	۳۹.۰۲	۴۳.۳۶	-۲۱	-	بابلسر
۱۰	۲۹.۷۱	۰۲.۳۱	۴۸۹/۲	-	زابل	۳۲	۲۹.۴۸	۴۱.۳۶	۱۶۶۳	-	زنگان
۱۱	۱۵.۴۸	۲۲.۳۰	۷/۶	-	آبادان	۳۳	۵۷.۰۴	۲۵.۳۶	۱۳۴۵/۳	-	شهرورد
۱۲	۵۸.۰۶	۱۵.۳۰	۱۷۵۳/۸	-	کرمان	۳۴	۳۸.۰۹	۱۶.۳۶	۹۹۹/۲	-	مشهد

۵۳.۶۰	۲۸.۲۹	۱۳۷۰	-	Zahedan	۳۵	۱۶.۴۶	۱۵.۳۶	۱۵۲۲/۸	-	سفر	۱۳
۳۲.۰۲	۳۶.۲۹	۱۴۸۸	-	Shiraz	۳۶	۰۰.۵۰	۱۵.۳۶	۱۲۷۸/۳	-	قزوین	۱۴
۲۱.۰۸	۰۶.۲۹	۱۰۶۶/۹	-	به	۳۷	۴۳.۰۷	۱۲.۳۶	۹۷۷/۶	-	سبزوار	۱۵
۵۰.۰۰	۵۹.۲۸	۱۹/۶	-	بوشهر	۳۸	۱۹.۰۱	۴۱.۳۵	۱۱۹۰/۸	-	تهران	۱۶
۴۱.۰۳	۵۸.۲۸	۱۲۸۸/۳	-	فسا	۳۹	۲۳.۰۳	۳۳.۳۵	۱۱۷۱	۱۹۶۴	سمنان	۱۷
۱۲.۶۱	۱۳.۲۸	۱۳۹۴	۱۹۶۴-۶۵	خاش	۴۰	۰۰.۴۷	۲۰.۳۵	۱۳۷۳/۴	-	سنتوج	۱۸
۲۲.۰۶	۱۳.۲۷	۱۰	-	بندرعباس	۴۱	۳۲.۴۸	۵۲.۳۴	۱۷۴۹	-	همدان	۱۹
۴۲.۶۰	۱۲.۲۷	۰۹۱/۱	۱۹۶۴	ایرانشهر	۴۲	۱۳.۰۹	۱۶.۳۵	۱۴۵۰/۸	-	تربت ح	۲۰
۵۰.۰۴	۳۵.۲۶	۱۴/۲	۱۹۶۴-۶۶	بندرلنگه	۴۳	۰۷.۴۷	۱۷.۳۴	۱۳۲۲	-	کرمانشاه	۲۱
۳۷.۶۰	۱۷.۲۵	۸	۱۹۶۴	چابهار	۴۴	۴۶.۴۹	۰۶.۳۴	۱۷۰۸	-	اراک	۲۲

پس از رقومی کردن نقشه ها، مراحل ویرایش و ساختن توپولوژی لایه ها با استفاده از نرم افزار PC ARC/INFO به انجام رسید. لایه های رقومی شده به Extension ArcView منتقل و از امکانات نرم افزار Spatial analyst و Geoprocessing های برای پنهان Spatial analyst، Assign proximity و gryneh گزینه ای است که بر مبنای این قابلیت و استفاده از نتایج تحلیل خوش ای، به طریقه رسترنی، مساحت ایران بین ایستگاه ها تقسیم گردید. سپس نقشه حاصله به نقشه وکتوری تبدیل و بر اساس هر خوش، پنهان ها یکدست گردید. در نهایت، مرزهای پنهان ها بر اساس موقعیت و جهت گیری ناهمواری ها اصلاح شد.

در نقشه های همدما و نقشه های ضریب تغییرات و انحراف معیار، برای میان یابی و برآورد نقطه ای

روش انجام ناحیه بندی اقلیمی به ترتیب زیر است  
(اوریت<sup>۱</sup>، ۱۹۹۳)

- الف) تهیه ماتریس داده ها؛
- ب) محاسبه نمره استاندارد Z برای تک تک متغیرها؛
- ج) تشکیل گروه بندی های ممکن و محاسبه فاصله اقلیدسی هر پارامتر با میانگین گروه خود؛
- د) ادغام گروه ها به روش کمترین واریانس (روش between-groups ward) و تعیین گروه بندی نهایی؛
- ه) ترسیم دندروگرام که حاصل ادغام گروه ها در چندین مرحله است؛
- و) تعیین محل قطع خوش ها و تعیین گروه های نهایی به دست آمده.

میانگین پهنه ها به صورت دو به دو با هم اختلاف معنی دارد یا خیر.

با توجه به اینکه در وقوع دماهای حداقل در مناطق مختلف، عوامل مختلفی، از جمله عوامل محلی دخالت دارند، با استفاده از مدل های رگرسیون چندگانه، سعی در دخالت دادن مهمترین این عوامل شد. در مدلسازی های مربوطه، با استفاده از نرم افزار SPSS، علاوه بر عامل ارتفاع، عامل مهم دیگر، عرض جغرافیایی، نیز در معادلات وارد شد. شکل عمومی معادلات رگرسیون چند گانه به قرار زیر است

$$(1) \quad Y = \beta_0 + \beta_1 x_1 + \beta_2 x_2 + \dots + \beta_k x_k + E$$

که در آن  $Y$ ، به عنوان متغیر تصادفی عبارت است از دماهای میانگین حداقل که می خواهیم مقادیر آن را بر حسب متغیرهای مستقل مطالعه  $x_1, x_2, \dots, x_k$  (در اینجا ارتفاع و عرض جغرافیایی) پیش بینی کنیم،  $\beta_0, \beta_1, \dots, \beta_k$  ضرایب ثابتی هستند که باید از روی داده های مشاهده شده برآورد شوند و  $E$ ، متغیری تصادفی است که نشان دهنده خطای تصادفی است. تمام محاسبه های، آزمون فرض های آماری، تنظیم معادله های رگرسیون و غیره به کمک نرم افزار SPSS انجام شده است. شکل ۲ نمودار مراحل انجام کار را نشان می دهد.

تغییرات مکانی، از روش گریجینک در نرم افزار Surfer استفاده شد. "روش برآورد نقطه ای مقادیر، به وسیله مجموع حاصل ضرب ضرایب وزنی در مقادیر مشاهده ای نقاط مجاور انجام می شود" (عساکر، ۱۳۸۴). گریجینک به روش بلوکی<sup>۱</sup> نیز مقدار متوسط یک بلوك را بر مبنای داده های وارد شده، برآورد و خطوط هم ارزش ملایمتری (صفتری) را تولید می نماید (کرزی، ۱۹۹۰). می توان گفت که گریجینک کمترین واریانس تخمین را در میان یابی ارائه می نماید.

بعد از انجام پهنه بندی، برای اطمینان از درستی پهنه بندی و وجود اختلاف بین میانگین دماهای پهنه ها، از ANOVA<sup>۲</sup> (تجزیه و تحلیل واریانس) یک طرفه استفاده شد و فرضیه های مربوطه آزمون گردید. البته، با توجه به اینکه شرط استفاده از ANOVA برابری واریانس های گروههای است، آزمون لوین برای برابری واریانس ها<sup>۳</sup> نیز به انجام رسید. نیز برای مقایسه میانگین های دو سری زمانی با واریانس های نامعلوم جوامع آنها، از آزمون مقایسه های چندگانه بونفرونی<sup>۴</sup> استفاده شد. این آزمون، همان کار آزمون تی - استیودنت<sup>۵</sup> با نمونه های مستقل را منتهی به شکل چندگانه و با خطای کمتر انجام می دهد و همان طور که گفته شد، نشان می دهد که آیا دماهای

<sup>1</sup> - Block Kriging

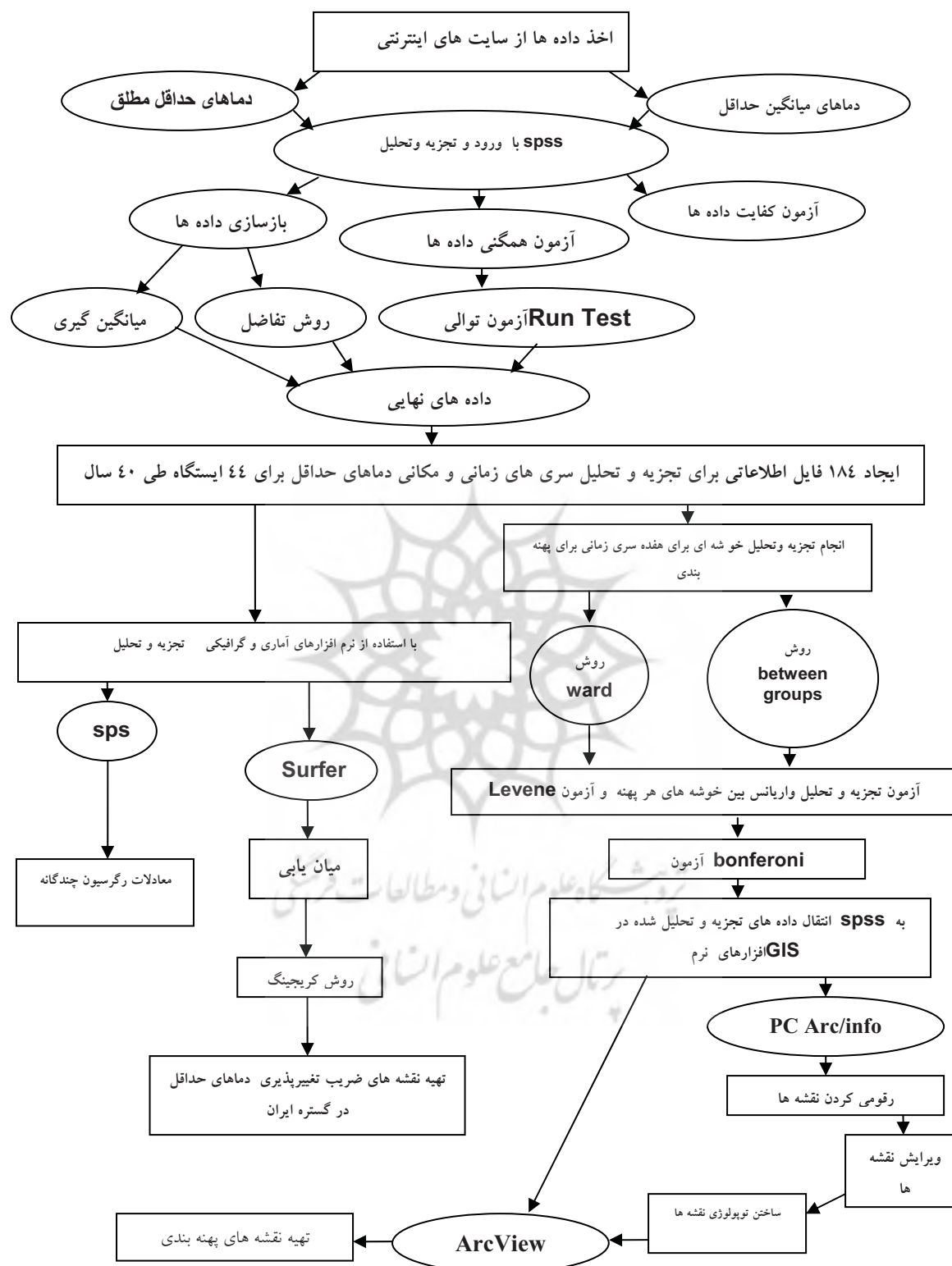
<sup>2</sup> - Cressie

<sup>3</sup> - Analyses of Variance

<sup>4</sup> - Levene's test for equality of variances

<sup>5</sup> - Bonferroni

<sup>6</sup> - t-student



شکل ۲- نمودار مراحل انجام کار در پهنه بندی ایران بر مبنای دماهای حداقل

امواج بلند، به مقدار زیاد توسط ذخیره حرارتی آب جبران می-شود و بنابراین، سرمایش جو در سطح آب بسیار ناچیز است" (کاویانی، ۱۵۸: ۱۳۸۰). در حالی که در خشکی ها به دلیل بازتاب امواج بلند، سطح زمین سردتر از آب های مجاور است. اثر گرمای محسوس در خشکی ها معمولاً مهمتر از اثر گرمای نهان تبخیری است، در حالی که در آب ها گرمای نهان تبخیری، نقش مهمتری نسبت به گرمای محسوس دارد.

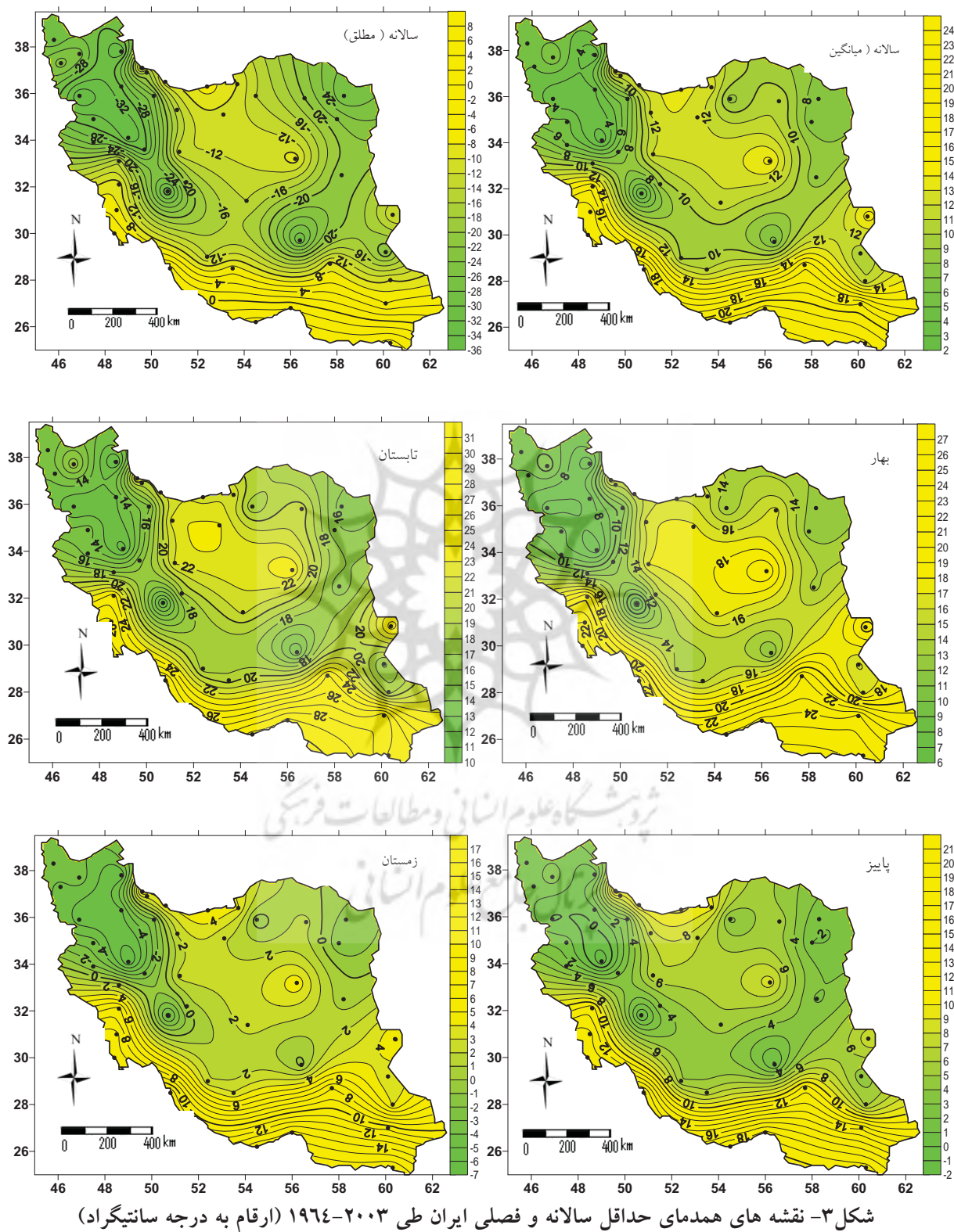
کمترین دماهای سالیانه به طور مطلق، مربوط به ایستگاه های کوهستانی شمال غرب و غرب (اردبیل و همدان به ترتیب با دماهای  $33/8$ - $34$ - $34$ -درجه سانتیگراد) است که به خوبی مؤید هجوم توده هوای بسیار سرد در اوج سرماهی زمستانه است. بالاترین دماهای حداقل مطلق سالانه نیز مربوط به نوار ساحلی جنوب، بخصوص سواحل دریای عمان و تنگه هرمز (ایستگاه های چابهار و بندر لنگه به ترتیب با دماهای  $7$  و  $6$  درجه سانتیگراد) است (جدول ۲).

برای مشخص شدن الگوی مکانی توزیع دماهای حداقل در ایران از روش تحلیل خوش ای به روشن های رایج Ward و Between-Groups استفاده شد که مبنای پهنه بندی ها قرار گیرد. هدف از این کار، قرار دادن ایستگاه ها در طبقات همگن بود. نتایج کار به شکل دنдрوگرام هایی مانند دندروگرام های شکل ۴، برای هر دوره زمانی به دست آمد که بر مبنای آن، نقشه های پهنه بندی بر اساس روشی که قبلًاً توضیح داده شد، رسمند شدند (شکل ۵).

## نتایج و بحث

تفاوت های مکانی دماهای صبحگاهی در ایران بسیار چشمگیر است و در این تنوع مکانی، نقش ناهمواری ها بارز است. در مجموع، در همه نقشه های همدما (شکل ۳) که بر مبنای ارقام جدول ۲ تهیه شده است، مقادیر دما از جنوب به شمال و از مشرق به غرب کاسته می شود. البته، مناطق خاصی هستند که از این الگو تبعیت نمی کنند. طبق نظر علیجانی (۱۳۸۳: ۵۱) کاهش دما از مشرق به غرب عمدتاً به دلیل تجمع توده کوهستانی زاگرس در غرب کشور و یورش توده های هوای سیبری به چاله های مرکزی ایران رخ می دهد.

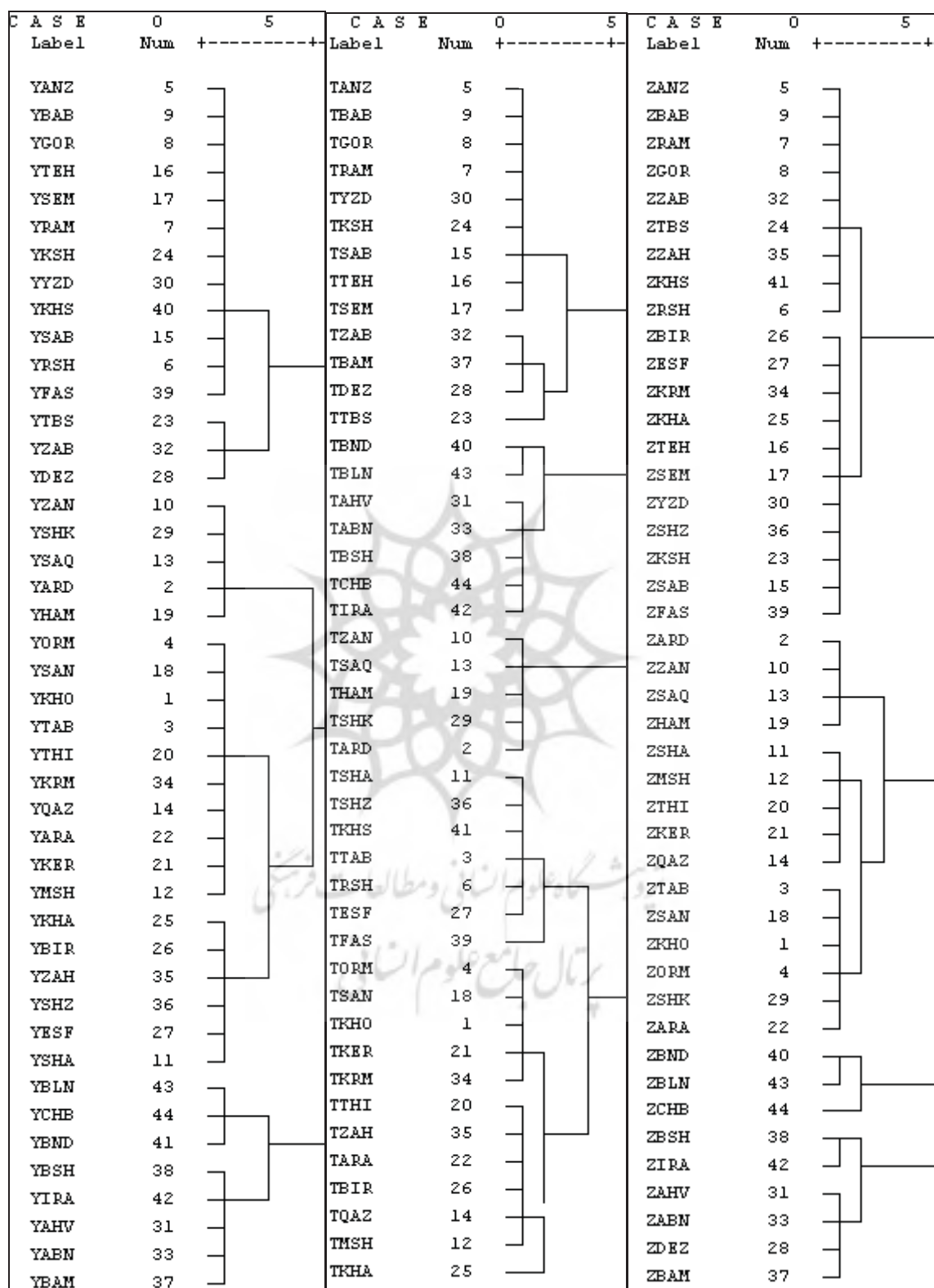
به طور کلی، با توجه به آمار جدول ۲ و نقشه های شکل ۳، پایین ترین دماهای صبحگاهی در تمام سری های زمانی، در شمال غرب کشور (ایستگاه های اردبیل، ارومیه و زنجان، به ترتیب با دماهای میانگین حداقل سالانه  $2/8$ ،  $5$  و  $3/9$  درجه سانتیگراد) و منطقه زاگرس (ایستگاه های همدان و شهرکرد به ترتیب با دماهای میانگین حداقل سالانه  $2/3$  و  $3/5$  درجه سانتیگراد) مشاهده می شود. در مقابل، بالاترین دماهای میانگین صبحگاهی، نوار ساحلی جنوب، از آبادان تا چابهار را فرا می گیرد. دماهای میانگین صبحگاهی سالانه در ایستگاه های چابهار، بندر لنگه، بندر عباس و آبادان به ترتیب  $21/6$ ،  $21/9$ ،  $22/2$  و  $18$  درجه سانتیگراد است که با دور شدن از ساحل و کاهش اثر تعدیلی آب دریا، دماها دچار افت می شود، زیرا "در نواحی ساحلی، سرمایش ناشی از بازتاب



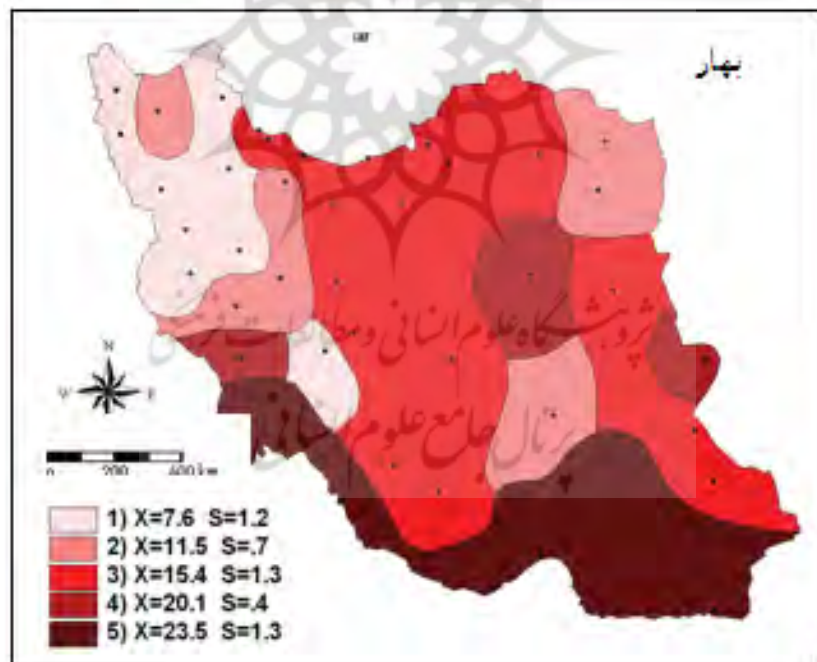
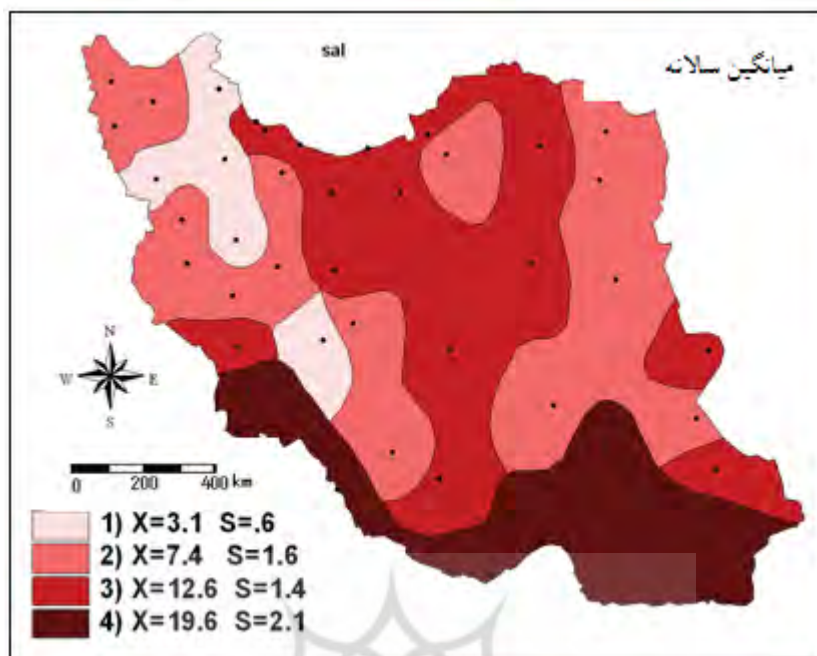
شکل ۳- نقشه های همدمای حداقل سالانه و فصلی ایران طی ۱۹۶۴-۲۰۰۳ (ارقام به درجه سانتیگراد)

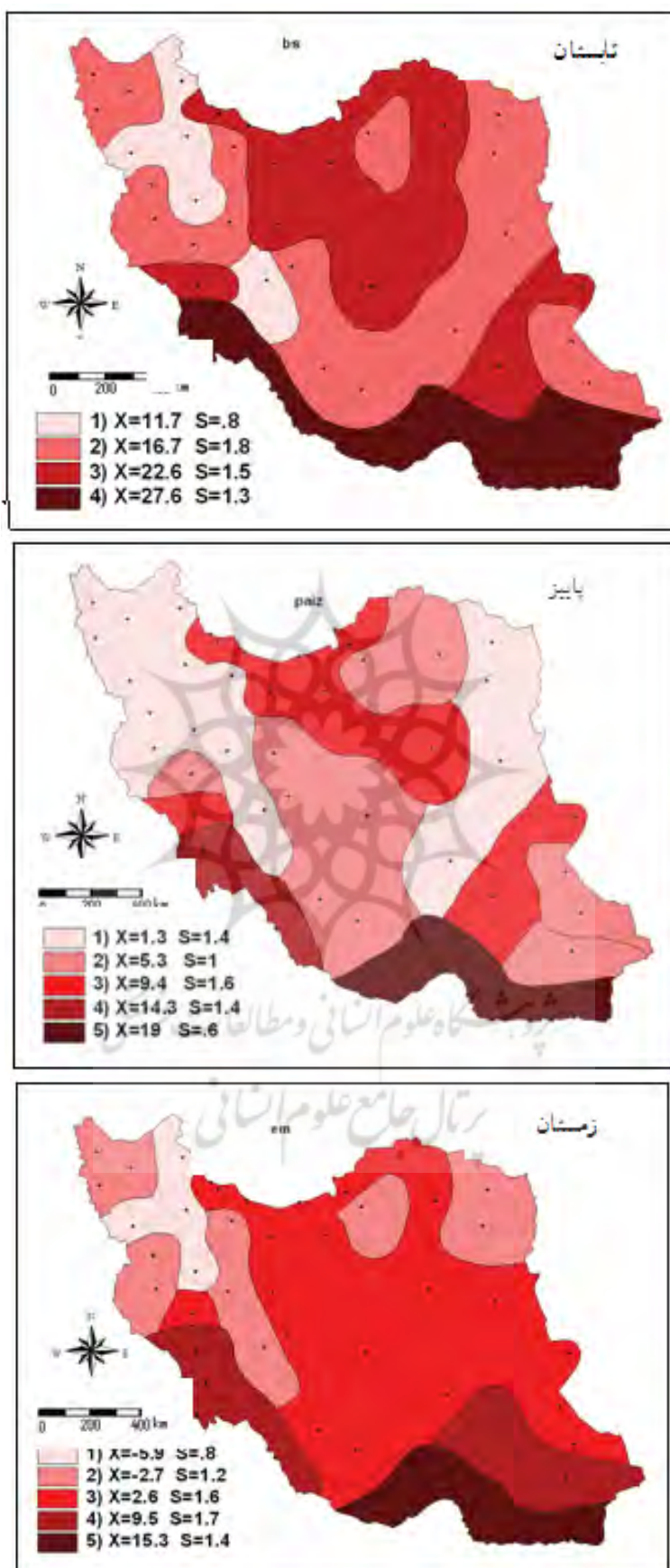
## جدول ۲- دماهی میانگین حداقل و حداقل مطلق ایستگاه‌ها (۱۹۶۴-۲۰۰۳)

حداقل مطلق سالانه	میانگین حداقل					ردیف	حداقل مطلق سالانه	میانگین حداقل					ردیف		
	۱	۲	۳	۴	۵			۱	۲	۳	۴	۵			
-۱۲/۰	۲/۶	۷/۸	۲۲/۱	۱۷	۱۲/۱	کاشان	۲۳	-۳۰	-۳۷/۷	۱/۲	۱۶/۲	۹/۴	۵/۳	خوی	۱
-۹	۴/۸	۸/۶	۲۴	۲۰/۱	۱۴/۴	طبس	۲۴	-۳۳/۸	-۵/۹	۰/۲	۱۰/۷	۷/۲	۲/۸	اردبلل	۲
-۱۴/۷	۱/۰	۵/۴	۱۷/۱	۱۱/۵	۸/۹	خرم آباد	۲۵	-۲۵	-۳۸/۳	۲/۷	۱۷/۹	۱۰/۸	۷	تبریز	۳
-۲۱/۰	۰/۴	۲/۸	۱۶/۲	۱۳/۷	۸/۳	بیرجند	۲۶	-۲۲/۸	-۴/۲	۱/۳	۱۶/۳	۸/۷	۵	ارومیه	۴
-۱۹/۴	۰/۴	۴	۱۸/۸	۱۴/۳	۹/۴	اصفهان	۲۷	-۱۱	۵	۱۱	۲۱/۵	۱۵/۷	۱۳/۳	انزلی	۵
-۹	۷/۳	۱۱/۶	۲۴/۰	۱۹/۸	۱۵/۸	ذوقول	۲۸	-۱۹	۳/۳	۸/۷	۱۹/۴	۱۴/۱	۱۱/۴	رشت	۶
-۳۲	-۴/۷	-۰/۳	۱۱/۶	۷/۱	۳/۰	شهرکرد	۲۹	-۱۰	۴/۴	-۱۰/۲	۲۰/۹	۱۴/۷	۱۲/۵	رامسر	۷
-۱۴	۲/۰	۵/۷	۲۱/۲	۱۷/۴	۱۱/۷	یزد	۳۰	-۱۰	۴/۱	۹/۴	۲۱/۸	۱۵/۳	۱۲/۷	گرگان	۸
-۷	۹/۳	۱۳/۳	۲۶/۲	۲۲	۱۷/۷	اهواز	۳۱	-۷	۵/۱	۱۰/۲	۲۱/۵	۱۵/۹	۱۳/۲	بابلسر	۹
-۱۲	۰/۱	۷/۸	۲۴/۶	۲۰/۸	۱۴/۵	زابل	۳۲	-۲۰	-۵/۲	۰/۶	۱۲/۹	۷/۴	۳/۹	زنجان	۱۰
-۴	۹/۶	۱۳/۷	۲۶/۲	۲۲/۵	۱۸	آبدان	۳۳	-۱۴	-۰/۷	۳/۷	۱۸/۱	۱۳	۸/۵	شاهروند	۱۱
-۳۰	-۰/۳	۰/۸	۱۴	۱۲	۷/۶	کرمان	۳۴	-۲۸	-۱/۴	۲/۲	۱۵/۴	۱۲/۳	۷/۱	مشهد	۱۲
-۲۲	۳/۴	۴/۴	۱۶/۷	۱۵/۸	۱۰/۱	زاهدان	۳۵	-۳۶	-۰.۵	-۰/۱	۱۱/۹	۶/۶	۳/۲	سقز	۱۳
-۱۴	۲/۳	۵/۲	۱۸/۵	۱۳/۷	۹/۹	شیراز	۳۶	-۲۴	-۲/۱	۳/۱	۱۵/۸	۱۰/۵	۶/۸	قرمیون	۱۴
-۹	۸	۱۱/۷	۲۵/۲	۲۲/۱	۱۶/۸	یز	۳۷	-۲۰	۱/۲	۵/۶	۲۰/۶	۱۶/۳	۱۱	سیزووار	۱۵
-۱	۱۲	۱۷/۴	۲۷/۴	۲۳/۱	۱۹/۷	بوشهر	۳۸	-۱۵	۲/۱	۷/۶	۲۲/۵	۱۶/۴	۱۲/۲	تهران	۱۶
-۷	۳/۱	۷/۴	۱۹/۶	۱۴/۷	۱۱	فسا	۳۹	-۱۱	۲/۱	۷/۲	۲۳/۱	۱۷/۲	۱۲/۴	سمنان	۱۷
-۱۰	۳/۹	۵/۷	۱۸/۵	۱۶/۵	۱۱/۲	خاش	۴۰	-۳۱	-۳/۴	۱/۶	۱۴/۸	۸/۴	۵/۳	سنندج	۱۸
۲	۱۴/۳	۱۸/۳	۲۹/۳	۲۴/۵	۲۱/۶	بندهباس	۴۱	-۳۴	-۷	-۱/۸	۱۱/۵	۷/۴	۲/۳	همدان	۱۹
-۶	۱۰/۷	۱۳/۸	۲۷/۷	۲۴/۳	۱۹/۱	ابراشهر	۴۲	-۲۲	-۱/۸	۲	۱۶/۳	۱۲/۴	۷/۲	ترتیب ح	۲۰
۷	۱۴/۸	۱۹/۲	۲۹/۴	۲۴/۳	۲۱/۹	بندرلنگه	۴۳	-۲۷	-۱/۸	۲/۶	۱۴/۵	۸/۷	۶	کرمانشاه	۲۱
۷	۱۶/۹	۱۹/۰	۲۶/۹	۲۰/۴	۲۲/۲	چابهار	۴۴	-۳۰/۵	-۲/۷	۲/۷	۱۶/۶	۱۱/۱	۶/۹	اراک	۲۲



شکل ۴- نمونه هایی از دندروگرام های سری های زمانی دماهای میانگین حداقل برای ۴۴ ایستگاه ایران





تحلیل واریانس یک طرفه استفاده شد. نتایج این تجزیه و تحلیل نشان داد که دماهای میانگین حداقل پهنه ها در هر نقشه (شکل ۵) با یکدیگر اختلاف معنی دار دارند. جدول ۳ نمونه ای از خروجی های تجزیه و تحلیل واریانس را نشان می دهد.

شکل ۵- نقشه های پهنه بندی ایران بر مبنای دماهای میانگین حداقل سالانه و فصلی (۱۹۶۴-۲۰۰۳)

(پهنه ها با شماره های ۱ الی ۵ مشخص شده اند. X دماهی میانگین حداقل و S انحراف معیار آنها بر حسب درجه سانتیگراد است.)

برای اثبات معنی دار بودن اختلاف میانگین دماها بین پهنه ها در هر سری زمانی، از تجزیه و

جدول ۳- آنالیز واریانس مربوط به برابری دماهای میانگین حداقل سالانه در پهنه های چهارگانه

سطح معناداری	F	میانگین مربعات	درجه های آزادی	مجموع مربعات	دماهی میانگین حداقل سالانه
۰/۰۰۰	۱۵۴/۹۴۰	۳۸۵/۵۸۵ ۲/۴۹۰	۳ ۴۰ ۴۳	۱۱۵۷/۵۷۳ ۹۹/۶۱۵ ۱۲۵۷/۱۸۷	بین گروهها (پهنه ها) داخل گروهها (پهنه ها) مجموع

جدول ۴- آزمون مقایسه های چندگانه بونفرونی برای تعیین اختلاف دو به دویی دماهای میانگین حداقل سالانه بین پهنه ها

فاصله اطمینان ۹۵%		سطح معناداری	خطای معیار	اختلاف متوسط (I-J)	دماهی میانگین سالانه
حد بالا	حد پایین				پهنه (I) پهنه (J)
-۲/۰۲۹۴	-۶/۵۱۸۱	۰/۰۰۰	۰/۸۰۸۵	-۴/۲۷۳۸*	۲ ۱
-۷/۲۶۴۶	-۱۱/۷۸۸۸	۰/۰۰۰	۰/۸۱۴۹	-۹/۵۲۶۷*	۳
-۱۴/۰۳۲۷	-۱۹/۰۲۷۳	۰/۰۰۰	۰/۸۹۹۶	-۱۶/۵۳۰۰*	۴
۶/۵۱۸۱	۲/۰۲۹۴	۰/۰۰۰	۰/۸۰۸۵	۴/۲۷۳۸*	۱ ۲
-۳/۶۷۸۶	-۶/۸۲۷۳	۰/۰۰۰	۰/۵۶۷۲	-۵/۲۰۲۹*	۳
-۱۰/۳۵۹۴	-۱۴/۱۵۳۱	۰/۰۰۰	۰/۶۸۳۳	-۱۲/۲۵۶۳*	۴
۱۱/۷۸۸۸	۷/۲۶۴۶	۰/۰۰۰	۰/۸۱۴۹	۹/۰۲۶۷*	۱ ۳
۷/۸۲۷۳	۳/۶۷۸۶	۰/۰۰۰	۰/۵۶۷۲	۵/۲۵۲۹*	۲
-۵/۰۸۵۵	-۸/۹۲۱۱	۰/۰۰۰	۰/۶۹۰۹	-۷/۰۰۳۳*	۴
۱۹/۰۲۷۳	۱۴/۰۳۲۷	۰/۰۰۰	۰/۸۹۹۶	۱۶/۵۳۰۰*	۱ ۴
۱۴/۱۵۳۱	۱۰/۳۵۹۴	۰/۰۰۰	۰/۶۸۳۳	۱۲/۲۵۶۳*	۲
۸/۹۲۱۱	۰/۰۸۰۰	۰/۰۰۰	۰/۶۹۰۹	۷/۰۰۳۳*	۳

نقشه میانگین سالانه) رد می شود و این علامت صحت ناحیه بندی است. فرض صفر مذکور، بر اساس آماره F رد شده است. آماره F جدول

سطح معناداری صفر در جدول ۳، به این مفهوم است که فرض صفر برابری میانگین های دماهی حداقل سالانه بین پهنه های دمایی چهارگانه (شکل ۵،

بیشترین فراوانی را دارند و ممکن است چند سال پیاپی اتفاق نیافتد (علیجانی، ۱۳۸۳: ۷ و ۸) و به این ترتیب باعث ایجاد پهنه های ناهمسان در سری های زمانی می گردند (شکل ۵).

در تمام فصول و همین طور در طول سال، نقش کنترل کننده های دمایی به خوبی ملاحظه می شود. پایین ترین دماهای میانگین صبحگاهی در ایران درست در ارتفاعات شمال غربی و ارتفاعات زاگرس شمالی (با میانگین سالانه ۳/۱ درجه سانتیگراد) و بالاترین آنها در نواحی ساحلی جنوب (با میانگین سالانه ۱۹/۶ درجه سانتیگراد) مشاهده می شود (شکل ۵). دماهای میانگین حداقل سالانه و فصلی در ایستگاه های جنوبی کشور در تمام فصول از ثبات بیشتری برخوردار بوده است، ولی در نیمه شمالی کشور بخصوص در فصل زمستان به علت ورود توده هوای مختلف که به طور عمده از سمت شمال و شمال غرب وارد ایران می شوند، این ثبات به هم خورده و پهنه های متفاوت تری شکل گرفته است. میانگین دماهای صبحگاهی زمستانه در دو پهنه شمال غرب، از ۵/۹ - تا ۲/۷ درجه سانتیگراد متغیر است. در سواحل دریای خزر طی فصل زمستان به رغم بالا بودن عرض جغرافیایی، به دلیل نقش تعدیلی دریا، دماهای میانگین حداقل بیش از ۲/۶ درجه سانتیگراد است که از این نظر با چاله های مرکزی ایران در یک ردیف قرار می گیرد. در تمام نقشه های شکل ۵، نقش عرض جغرافیایی و اثر تعدیلی آب دریا در نوار ساحلی جنوب کاملاً مشخص است و باعث شده

(۱۵۴/۹۴)، بیانگر آن است که واریانس دما بین پهنه های چهارگانه، ۱۵۴/۹۴ برابر واریانس دما در داخل پهنه هاست که با قاطعیت حکم به اختلاف معنی دار بین میانگین های دماهای پهنه ها می دهد. آزمون برابری واریانس های لوین نیز که پیش شرط استفاده از دو آزمون تجزیه و تحلیل واریانس و آزمون بونفرونی است، اختلاف معنی دار واریانس بین گروه ها را نشان نداد و بنابراین استفاده از این دو آزمون بلامانع بود.

از آنجا که رد شدن فرض صفر در تجزیه و تحلیل واریانس، به مفهوم وجود اختلاف معنی دار، دست کم بین میانگین دمای دو پهنه است و از این رو نشان نمی دهد که میانگین دماهای کدام پهنه ها، دو به دو، با هم اختلاف دارند، از آزمون مقایسه های چندگانه بونفرونی که نمونه ای از آن در جدول ۴ برای دماهای میانگین حداقل سالانه آورده شده است، استفاده شد. در این جدول، پهنه های چهارگانه با اعداد ۱ الی ۴ مشخص شده اند و هر علامت ستاره، نشان دهنده اختلاف معنی دار بین دماهای میانگین صبحگاهی در دو پهنه است. بنابراین، با توجه به ستاره ها، هر چهار پهنه به صورت دو به دو با هم دیگر اختلاف معنی دار دمایی دارند.

عوامل محلی به تنها یی نمی توانند وضعیت آب و هوایی ایران را تبیین کنند و باید نقش عوامل بیرونی را هم در نظر گرفت. عوامل بیرونی، ذاتی ایران نیستند و فراوانی وقوع آنها نیز همیشه ثابت نیست و ورود آنها تابع سیستم های آورنده آنهاست؛ یک سال

اعتبار مدل ها تأیید شده. با توجه به ردیف اول جدول<sup>۵</sup>، در مقیاس سالانه، با فرض ثابت بودن عرض جغرافیایی، با هر متر افزایش ارتفاع، ۰/۰۰۵۹ درجه سانتیگراد (۵/۹ درجه در ۱۰۰۰ متر) از دمای میانگین حداقل سالانه کاسته می شود که بسیار نزدیک به گرادیان معمولی ۶ درجه سانتیگراد در هر ۱۰۰۰ متر است. همچنین، با فرض ثابت بودن ارتفاع، با هر درجه افزایش عرض جغرافیایی، ۰/۷۷۵ درجه سانتیگراد از دمای میانگین حداقل سالانه کاسته می شود. آهنگ کاهش دما به ازای افزایش ارتفاع، حداقل در فصل بهار ۵/۲ درجه در کیلومتر و حداکثر در فصل پاییز، ۶/۷ درجه در هر کیلومتر بوده است.

با مقایسه ضرایب  $\beta$  استاندارد مدل های رگرسیون چندگانه در جدول<sup>۵</sup>، می توان پی برد که در تمام فصول و همین طور در طول سال، نقش ارتفاع در کنترل دماهای صبحگاهی، بیشتر از عرض جغرافیایی است. همچنین بررسی ضرایب تعیین ( $r^2$ ) مدل های رگرسیونی، معلوم می دارد که نقش تلفیقی این دو عامل در کنترل دماهای صبحگاهی، چشمگیر است. بالاترین مقدار ضریب تعیین، ۰/۹۵ در فصل زمستان و پاییز ترین آن ۰/۷۷ در فصل تابستان محاسبه شده است. همچنین مقدار ضریب برای سال، ۰/۸۷ است. مفهوم ۰/ آن است که در طول سال، دو عامل عرض جغرافیایی و ارتفاع، ۸۷ درصد از تغییرات دماهای میانگین صبحگاهی را توجیه می نمایند که درصد قابل توجهی است.

است پهنه مربوطه به صورت نواری در امتداد سواحل جنوبی گسترش یابد. در سایر مناطق، بخصوص ارتفاعات زاگرس و آذربایجان نقش ارتفاع چشمگیرتر است. نگاهی به نقشه های دوره گرم سال، حاکمیت عوامل محلی را بیشتر نمایان می سازد. در تابستان، سواحل دریا تنها قسمت کمی از انرژی جذب شده را به جو باز می گرداند. انتقال انرژی به اعماق آب و تبدیل گرمای محسوس به گرمای نهان بر اثر تبخیر، در حد بالایی است، بنابراین دمای هوا ملایم باقی می ماند. در مقابل، در مناطق دیگر ایران تبخیر بسیار کم است یا اصلاً وجود ندارد. به همین دلیل، در این مناطق در طی شب به دلیل هدررفت انرژی از طریق بازتابش، دماهای صبحگاهی، پایین تر است. همین امر، باعث شده است تا دماهای صبحگاهی در ایستگاهی مانند زاهدان با میانگین سالانه ۱۰/۱ درجه سانتیگراد، پایین تر از ایستگاهی مانند تهران با میانگین ۱۲/۲ درجه سانتیگراد باشد.

برای نشان دادن کم و کیف تأثیر عوامل محلی در دماهای صبحگاهی، از معادله های رگرسیون چندگانه بین دماهای میانگین حداقل، به عنوان متغیرهای مستقل، ارتفاع و عرض جغرافیایی، به عنوان متغیرهای مستقل، استفاده شد (جدول<sup>۵</sup>). آزمون های مربوط به درستی مدل های رگرسیونی، از جمله تجزیه و تحلیل واریانس رگرسیون، خطی بودن رابطه بین متغیرهای مستقل و وابسته و نرمال بودن توزیع مقادیر متغیر وابسته (آزمون اسمیرنوف - کولموگورو夫) انجام و

### جدول ۵- معادلات رگرسیون چندگانه مربوط به اثر دو عرض جغرافیایی و ارتفاع در دماهای میانگین حداقل

$\tau$	ضریب $\beta$ استاندارد (عرض جغرافیایی)	ضریب $\beta$ استاندارد (ارتفاع)	مدل رگرسیون چندگانه	دوره زمانی
۰/۸۷	-۰/۵۱۸	-۰/۷۰۱	latitude -۰/۷۷۵ altitude -۰/۰۰۵۹ -۴۲/۲۲ $Y =$	سال
۰/۸۲	-۰/۵۷۰	-۰/۶۰۵	latitude -۰/۸۶۶ altitude -۰/۰۰۵۲ -۴۷/۹۲ $Y =$	بهار
۰/۷۷	-۰/۴۳۷	-۰/۶۹۲	latitude -۰/۶۲۳ altitude -۰/۰۰۵۵ -۴۴/۷۴ $Y =$	تابستان
۰/۹۲	۴۳۸/۰-	۷۷۶/۰-	latitude -۰/۷۱ altitude -۰/۰۰۶۷ -۳۴/۲۱ $Y =$	پائیز
۰/۹۵	۵۸۲/۰-	۶۷۹/۰-	latitude -۰/۹۴ altitude -۰/۰۰۶۱ -۳۸/۵۷ $Y =$	زمستان

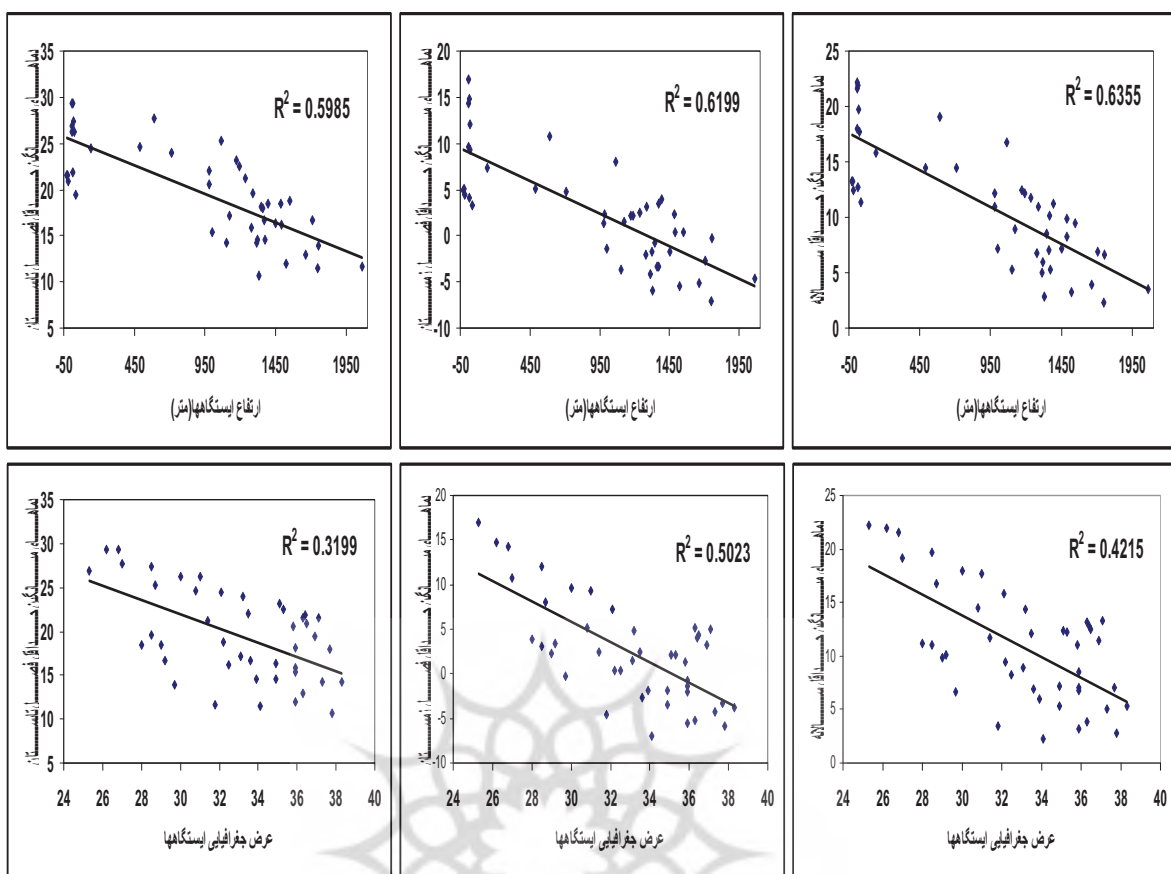
تعیین تابستانه در جدول ۵ نیز کمترین مقدار (۰/۷۷) را داشت. همچنین ضرایب همبستگی دو ستون چپ جدول ۶، نشان می دهد که در تمام دوره های زمانی، هرچه ارتفاع و عرض جغرافیایی بیشتر می شود، بر تغییرپذیری دماها افزوده می شود (شکل ۷). در این مورد، تمام ضرایب همبستگی به استثنای فصل تابستان که در سطح ۰/۰۵ معنی دار است، در سطح ۰/۰۱ معنی دار هستند. برخی از نمودارهای پراکنش نگار، به همراه خطوط برازش که به روش کمترین مربعات رسم شده اند، در شکل ۶ مشاهده می شود.

ضرایب همبستگی بین ارتفاع و دماهای میانگین حداقل ایستگاه ها (جدول ۶)، نیز قویتر از ضرایب بین عرض جغرافیایی و دماهast که تأیید همان مطلب بالا، یعنی نقش بیشتر عامل ارتفاع در کنترل دماهای صحبتگاهی نسبت به عرض جغرافیایی است؛ ضمن آنکه تمام ضرایب همبستگی، قوی و در سطح ۰/۰۱ معنی دار هستند. همبستگی ها در فصل تابستان ضعیف تر است. این امر نشان می دهد که در این فصل، کنترل عوامل محلی مانند ارتفاع و عرض جغرافیایی بر روی دماهای صحبتگاهی، نسبت به فصل زمستان کمتر است. یادآوری می نماید که ضریب

### جدول ۶- ضرایب همبستگی پرسن بین سری های دمای حداقل از یک سو و ارتفاع و عرض جغرافیایی از سوی دیگر

ضریب تغییرات دماهای میانگین حداقل		دماهای میانگین حداقل		سری زمانی
ارتفاع	عرض جغرافیایی	ارتفاع	عرض جغرافیایی	
۰/۵۴۵ ***	۰/۴۵۵ ***	*** -۰/۷۷۹	*** -۰/۶۴۹	سال (میانگین)
۰/۵۷۹ ***	۰/۴۶۸ ***	*** -۰/۷۹۸	*** -۰/۶۰۰	سال (مطلق)
۰/۵۳۷ ***	۰/۴۸۰ ***	*** -۰/۷۵۸	*** -۰/۶۸۳	بهار
۰/۵۱۷ ***	۰/۳۸۳ *	*** -۰/۷۷۴	*** -۰/۵۶۶	تابستان
۰/۶۰۹ ***	۰/۴۷۴ ***	*** -۰/۸۵۷	*** -۰/۵۸۲	پائیز
۰/۶۲۹ ***	۰/۵۰۵ ***	*** -۰/۷۸۷	*** -۰/۷۰۹	زمستان

\* معنی دار در سطح ۰/۰۵ \*\*\* معنی دار در سطح ۰/۰۱



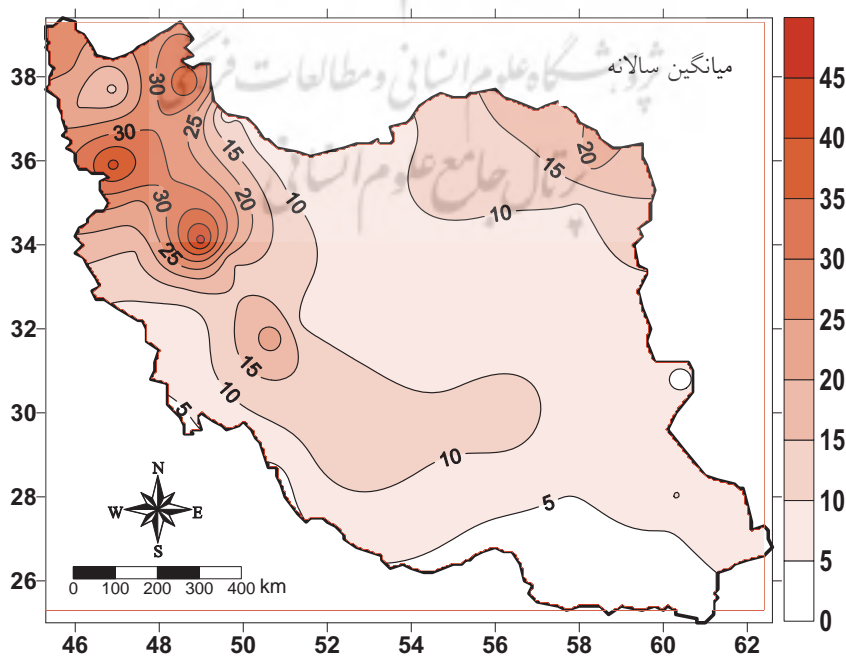
شکل ۶- نمودارهای پراکنش نگار مربوط به رابطه بین دماهای میانگین حداقل و ارتفاع و عرض جغرافیایی

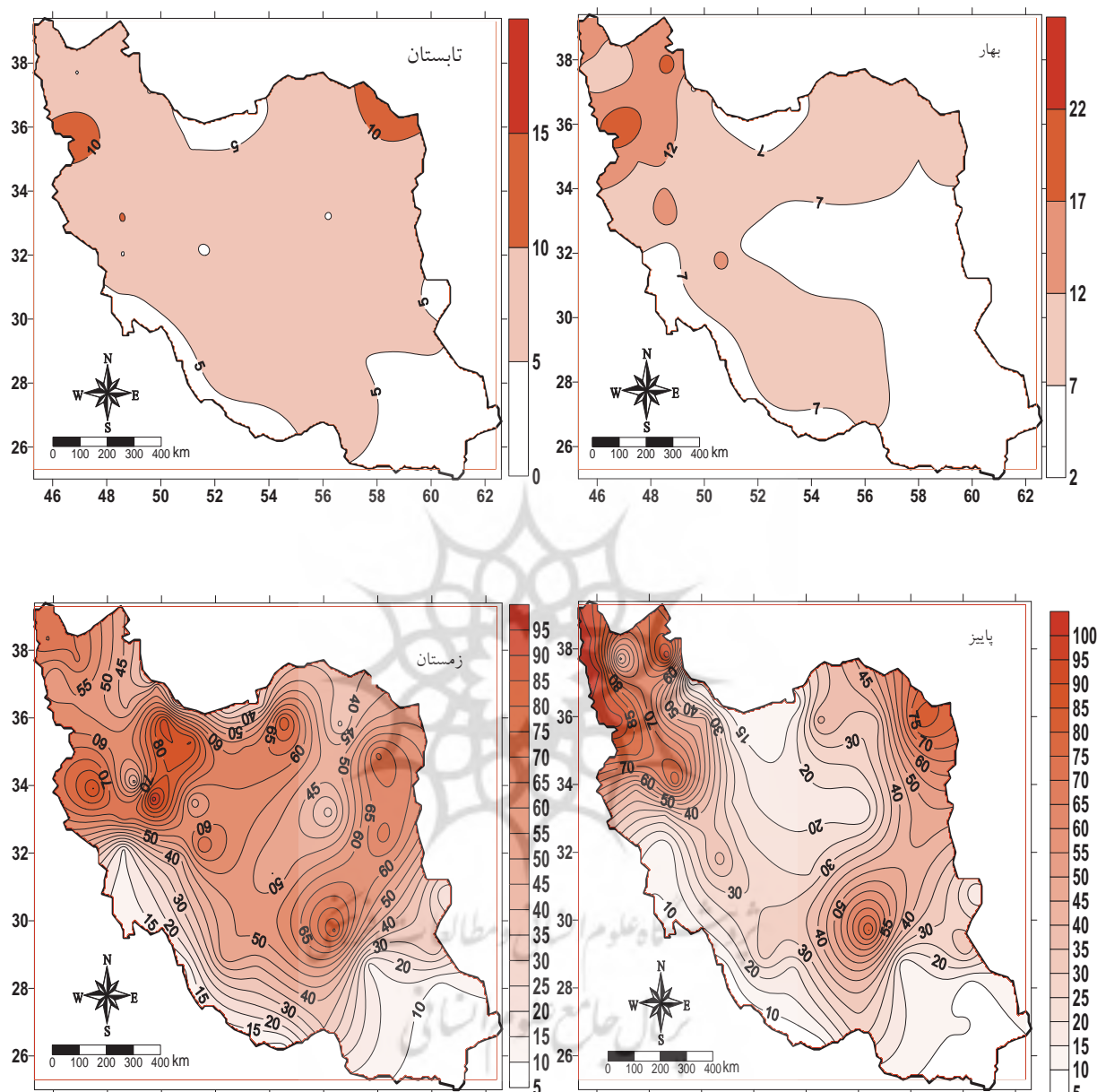
درصد) است که به وضوح اثر چشمگیر توده های مهم آب را در کاهش تغییرپذیری دمایی در این مناطق نشان می دهد، در حالی که در مناطق مرتفع، بخصوص مناطق مرتفع شمال غرب، گذر سیستم های مختلف جوی در طول سال، به همراه ورود و خروج راحت تر انژری، باعث افزایش تغییرپذیری دماهای میانگین حداقل سالانه به حدود ۴۰ درصد شده است. با توجه به اینکه در تمام نقشه ها، فاصله خطوط هم ارزش، به طور ثابت ۵ درصد در نظر گرفته شده است، اختلاف فاحش تغییرپذیری دما بین فصول تابستان و بهار (به ترتیب با میانگین ۶/۴ و ۸/۴

برای پی بردن به الگوی ارتباط مکانی ضریب تغییرات دماهای میانگین حداقل با ارتفاع و عرض جغرافیایی، نقشه های سالانه و فصلی ضریب تغییرات برای کشور رسم گردید (شکل ۷). همان طور که از نقشه ها بر می آید، بین ضریب تغییرات دماهای میانگین حداقل و ارتفاعات مهم کشور، رابطه مشخصی وجود دارد؛ بدین ترتیب که در مقیاس سال در مناطق کوهستانی شمال غرب، زاگرس و تا حدی شمال خراسان، ضریب تغییرات، نسبتاً بالا (۱۰ الی ۴۵ درصد) و در بقیه مناطق، به خصوص سواحل دریای خزر و سواحل جنوب کشور، بسیار پایین (کمتر از ۵

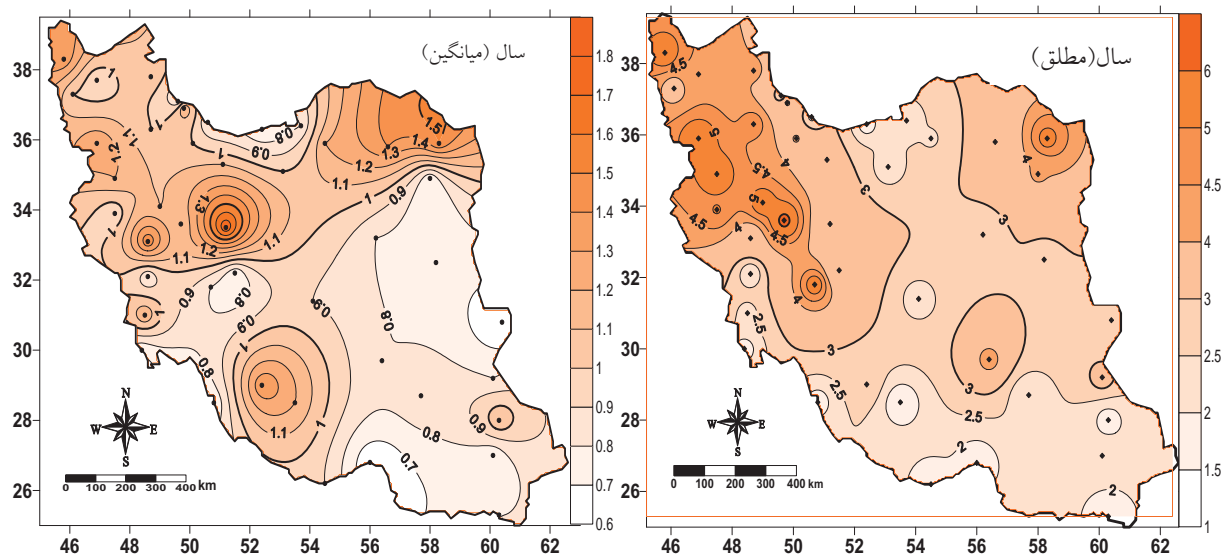
است، لیکن در فصل زمستان، مساحت بیشتری از کشور، مقادیر تغییرپذیری بالاتری را تجربه می‌کند. نقشه انحراف معیار دماهای میانگین حداقل (شکل ۸) نیز الگوی نسبتاً مشابهی را نشان می‌دهد. به این ترتیب که مقادیر انحراف معیار در مناطق مرتفع، به طور نسبی زیاد (۱۱/۸ درجه سانتیگراد) و در مناطق پست، کم (۰/۶۰ الی ۱ درجه سانتیگراد) است. همچنین، مقادیر انحراف معیار دماهای حداقل مطلق نیز به طور مشابه در مناطق پست، کمتر از ۲/۵ درجه سانتیگراد، در نواحی کوهپایه‌ای، ۲/۵ الی ۴ درجه سانتیگراد و در نواحی مرتفع، ۴ الی بیش از ۶ درجه سانتیگراد است؛ هر چند که در این تغییرات، عرض‌های جغرافیایی هم سهم بسزایی داشته است. در عرض‌های جغرافیایی بالاتر، مقادیر انحراف معیار دماها، نسبت به عرض‌های جغرافیایی پایین‌تر، بیشتر بوده است.

در صد) از یک سو و پاییز و زمستان (ترتیب با میانگین ۳۶/۳ و ۴۵/۴ درصد) از سوی دیگر، به خوبی قابل تشخیص است؛ ضمن آنکه در دو فصل بهار و تابستان، اختلاف تغییرپذیری دماها در نقاط مختلف کشور بسیار کاهش پیدا می‌کند و به حدود ۵ الی ۱۵ درصد می‌رسد؛ حال آنکه که در دو فصل پاییز و زمستان، این اختلاف به حدود ۷۰ الی ۸۰ درصد افزایش می‌یابد. بدیهی است که در دوره سرد، اغتشاشات و توده هوایی متفاوت، کل کشور، بخصوص عرض‌های بالاتر را متأثر می‌کند، در حالی که در دوره گرم تمام ایران زیر سلطه پرفشار آذور قرار گرفته، تقریباً اقلیمی گرم و خشک بر نقاط مختلف ایران حکم فرماست. نکته جالب آن است که هم در صد تغییرپذیری و هم اختلاف بین درصدها در نقاط مختلف کشور در فصل پاییز بیشتر از زمستان





شکل ۷- نقشه های ضریب تغییرات دماهای میانگین حداقل سالانه و فصلی ایران طی ۱۹۶۴-۲۰۰۳ (ارقام به درصد)



شکل ۸- نقشه های انحراف معیار دماهای میانگین حداقل و حداقل مطلق سالانه ایران طی ۱۹۶۴ - ۲۰۰۳

(ارقام بر حسب درجه سانتیگراد)

میانگین  $3/1$  درجه سانتیگراد) و بیشترین آنها مربوط به نوار ساحلی جنوب ( $18$  الی  $22/3$  درجه سانتیگراد با میانگین  $19/6$  درجه سانتیگراد) است که به خوبی مؤید نقش تعدل کنندگی آب دریا در جنوب و اثر ارتفاع و عرض جغرافیایی در شمال کشور است. نقشه های پهنه بندی فصلی (شکل ۵)، نیز اثر بارز عرض جغرافیایی در جنوب و ارتفاعات را در شمال نشان می دهد. آزمون های آماری، از جمله تجزیه و تحلیل واریانس یکطرفه و آزمون مقایسه های چندگانه بونفرونی، درستی پهنه بندی ها را تأیید می نمایند.

مقایسه ضرایب  $\beta$  استاندارد مدل های رگرسیون چندگانه (جدول ۵) و نیز ضرایب همبستگی (جدول ۶)، معلوم می دارد که در تمام فصول و همین طور در طول سال، نقش ارتفاع در کنترل دماهای صبحگاهی، بارزتر از عرض جغرافیایی است.

### نتیجه گیری

انجام پهنه بندی دمایی بر مبنای جدیدترین آمار اقلیمی برای تمام کشورها از جمله ایران، از ضروریات محسوب می شود. در این تحقیق، دماهای میانگین حداقل و حداقل مطلق سالیانه و فصلی  $4/4$  ایستگاه سینوپتیک در یک دوره  $40$  ساله بر مبنای روش های آماری، بررسی گردید و پهنه بندی های مربوطه با استفاده از نرم افزارهای مختلف آماری و سیستم های اطلاعات جغرافیایی (GIS) به انجام رسید.

بر اساس نتایج مطالعه، چهار پهنه متفاوت دمایی سالانه در کشور قابل تشخیص است (شکل ۵، نقشه سالانه) که کمترین دماهای میانگین صبحگاهی، مربوط به ایستگاه های کوهستانی شمال غرب و ارتفاعات زاگرس ( $2/2$  الی  $4/9$  درجه سانتیگراد با

برانگیز است؛ چرا که انتظار می‌رود در فصل تابستان، به دلیل ثبات نسبی عوامل بیرونی، بخصوص استیلای پرفشار آزور در سطح کشور، نقش عوامل محلی در کنترل دماها بیشتر باشد؛ درحالی که حداقل در این مطالعه، نقش این دو در فصل زمستان بیشتر بوده است. به همین ترتیب، ضرایب همبستگی تابستانه بین ارتفاع و عرض جغرافیایی از یک سو و دماهای صبحگاهی از سوی دیگر، ضعیف‌تر از ضرایب زمستانه بودند (جدول ۶) که به نوعی ادعای بالا مبنی بر نقش ضعیف‌تر ارتفاع و عرض جغرافیایی را در کنترل دماهای صبحگاهی تابستانه تأیید می‌نماید. به نظر می‌رسد که در مطالعات آتی با دخالت دادن عوامل بیرونی، مانند توده‌های هوا، امواج کوتاه و جریانهای هوا در سطوح فوقانی و سایر عوامل محلی، مانند پوشش گیاهی و دوری و نزدیکی به منابع آب، نتایج مطلوبتری عاید گردد.

#### منابع

- ۱- امام‌هادی، ماندانا و بهلول علیجانی. (۱۳۸۳). توده‌های هوای موثر بر ایران در دوره سرد سال، فصلنامه تحقیقات جغرافیایی، ۷۵: ۵۳-۳۴.
- ۲- خلیلی، علی. (۱۳۸۳). تدوین یک سامانه جدید پهنه بندی اقلیمی از دیدگاه نیازهای گرمایش و سرمایش محیط و اعمال آن بر گستره ایران، فصلنامه تحقیقات جغرافیایی، ۷۵: ۵-۱۴.
- ۳- ذوالفقاری، حسن. (۱۳۸۴). بررسی فصول طبیعی در استان کرمانشاه، فصلنامه تحقیقات جغرافیایی، ۷۶: ۹۰-۱۰۷.

با توجه به نقشه‌های شکل‌های ۷ و ۸ و ارقام ضریب همبستگی جدول ۶، رابطه کاملاً مشخصی بین توزیع مقادیر تغییرپذیری و انحراف معیار دماهای میانگین حداقل سالانه و ارتفاع ایستگاه‌ها مشاهده می‌شود، به این ترتیب که با افزایش ارتفاع، بر تغییرپذیری دماها افزوده می‌شود. این امر، مؤید ورود و خروج راحت تر انرژی در ارتفاعات است. نقش عرض جغرافیایی بر تغییرپذیری دماها، در رده بعدی اهمیت قرار می‌گیرد. همچنین تغییرپذیری دماها در دوره‌های سرد و گرم سال، اختلافات فاحشی را نشان می‌دهد؛ به این ترتیب که مقادیر تغییرپذیری در پاییز و زمستان بسیار بیشتر از بهار و تابستان است. علت را می‌توان در استیلای پرفشار جنب حراره‌ای آزور در تمام نقاط کشور و در نتیجه، ثبات نسبی دما در دوره گرم و همین طور عبور سیستم‌های متنوع جوی و توده‌های مختلف در دوره سرد جستجو کرد.

آنچه در این تحقیق جالب می‌نماید، نقش تلفیقی چشمگیر دو عامل ارتفاع و عرض جغرافیایی در کنترل دماهای صبحگاهی است، به گونه‌ای که مقایسه ضرایب تعیین (۲) مدل‌های رگرسیون چندگانه (جدول ۵) نشان می‌دهد که در مقیاس فصلی، حداقل ۷۷ و حداکثر ۹۵ درصد و در طول سال ۸۷ درصد از تغیرات دماهای صبحگاهی، توسط این دو عامل توجیه می‌شود که درصدهای بسیار قابل توجهی است، درحالی که علیجانی (۱۳۸۳: ۷ و ۸) بیان می‌دارد که حاکمیت عوامل محلی در طول شب به کمترین حد خود می‌رسد. به صورت مقایسه‌ای بین فصول، در تابستان، نقش تلفیقی این دو عامل در کنترل دماهای صبحگاهی، کمتر (۷۷ درصد) و در زمستان، بیشتر (۹۵ درصد) است که این نکته نیز تأمل

- ۱۴- مهدوی، محمد. (۱۳۷۱). هیدرولوژی کاربردی، ج ۱، تهران: انتشارات دانشگاه تهران.
- ۱۵- Carrera-Hernandez, J. J. and Gaskin, S. J. , 2007 , Spatio temporal analysis of daily precipitation and temperature in the Basin of Mexico, *Journal of Hydrology* , 336: 231– 249
- ۱۶- Cressie, N. A. C. , 1990 , The Origins of Kriging , *Mathematical Geology* , 22 : 239-252 .
- ۱۷- Chris, C. , Lau S. , Lam, J. C. and yang, L. , 2007 , Climate classification and passive solar design implications in China , *Energy conversion and Management* , 48: 2006-2015 .
- ۱۸- Everit, B. S. ,1993,; Cluster Analisis, California, Edward Arnold Publishers .
- ۱۹- Iglesias, A. , Rosenzweig, C. and Pereira, D. , 2000 , Agricultural impacts of climate change in Spain: Developing tools for a spatial analysis , *Global Environmental Change*, 10 : 69-80 .
- ۲۰- Unal, Y. , Kindap. T , and Karacob, M. , 2003 , Redefining The climate zones of Turkey using cluster analysis, *Int. J. Climatol.* ,23: 1045-1055 .
- ۲۱- Zhou, D. , Khan, S. , Abbas, A. , Rana, T. , Zhang, H. and Chen, Y. , 2009 , Climatic regionalization mapping of the Murrumbidgee Irrigation Area, Australia , *Progress in Natural Science* , 19(12):1773-1779 .
- ۴- عساکره، حسین. (۱۳۸۴). تغییرات زمانی و مکانی بارش استان اصفهان طی دهه های اخیر، *مجله پژوهشی علوم انسانی دانشگاه اصفهان*، ۱ : ۹۱-۱۱۶
- ۵- علیجانی، بهلول. (۱۳۸۳). آب و هوای ایران، تهران: انتشارات دانشگاه پیام نور.
- ۶- حیدری، حسن و بهلول علیجانی. (۱۳۷۸).
- طبقه بندی اقلیمی ایران با استفاده از تکنیک های آماری چند متغیره، *پژوهش‌های جغرافیایی*، ۳۷ : ۵۷-۷۴
- ۷- علیزاده، امین. (۱۳۶۸). اصول هیدرولوژی کاربردی، مشهد: انتشارات آستان قدس، چاپ دوم.
- ۸- کاویانی، محمدرضا. (۱۳۸۰).
- میکروکلیماتولوژی، چاپ اول، تهران: انتشارات سمت.
- ۹- گرامی، عباس. (۱۳۷۷). تعیین معیار طبقه بندی واحدا در آمارگیری های نمونه ای با طبقه بندی، اداره کل آمار و اطلاعات، وزارت کشاورزی، معاونت طرح و برنامه، نشریه شماره ۷۷/۲۵
- ۱۰- گندمی، ابوالفضل. (۱۳۸۴). آمار و احتمال در جغرافیا، تهران: انتشارات دانشگاه امام حسین(ع).
- ۱۱- مجرد، فیروز. (۱۳۷۶). تحلیل و پیش بینی یخنیان در آذربایجان، رساله دکتری، گروه جغرافیا، دانشگاه تربیت مدرس تهران.
- ۱۲- مسعودیان، ابوالفضل. (۱۳۸۲). نواحی اقلیمی ایران، *جغرافیا و توسعه*، ۲ : ۱۸۴-۱۷۱
- ۱۳- مسعودیان، ابوالفضل و هوشمند عطایی. (۱۳۸۴). شناسایی فصول بارشی ایران به روش تحلیل خوشه ای، *مجله پژوهشی علوم انسانی دانشگاه اصفهان*، ۱۸ (۱) : ۱۱۲-۱۰۱